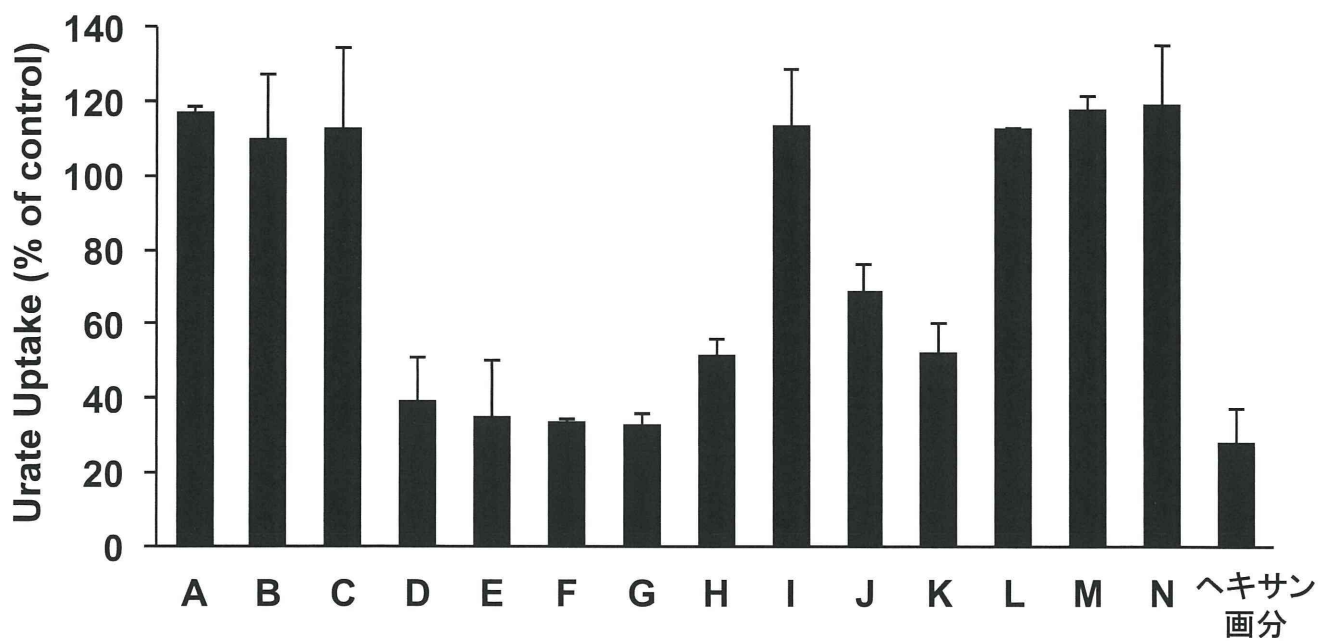
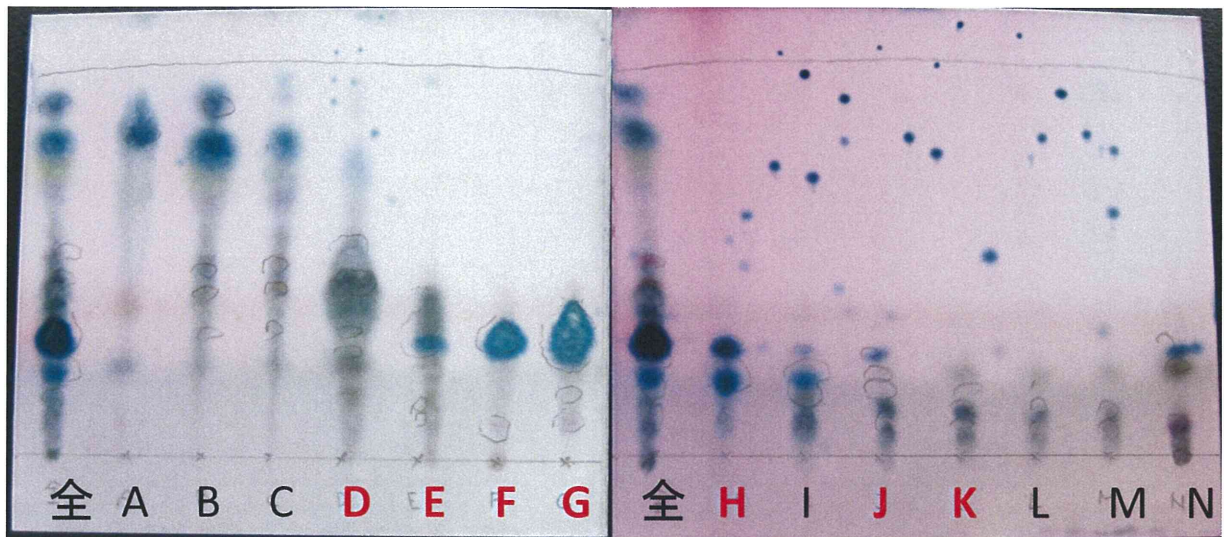


生薬F MeOHエキスおよびその分画物のURAT1阻害活性

“生薬F”は分画する前の生薬F MeOHエキスを示す。

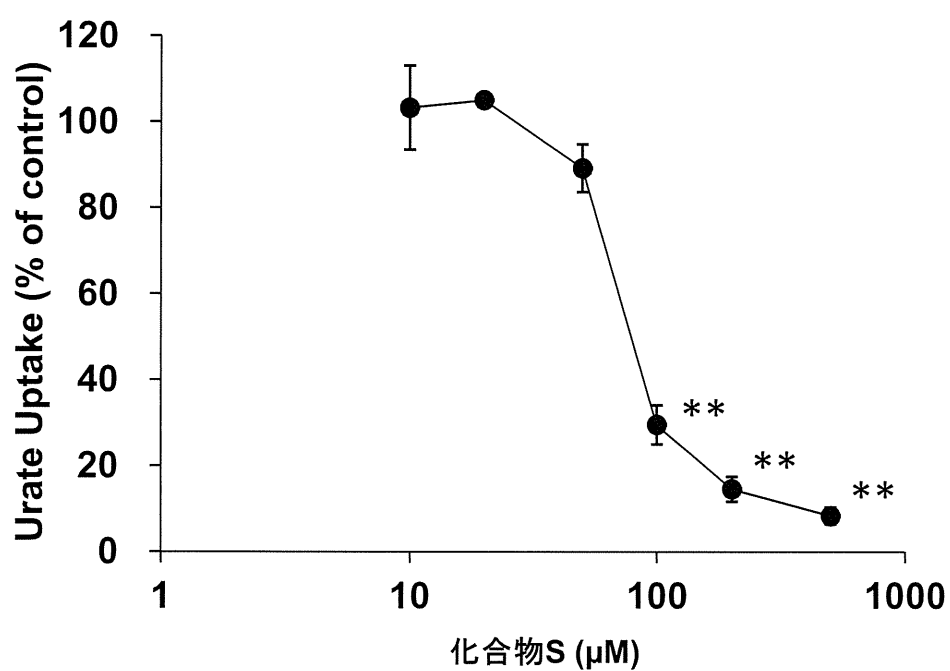
Data was expressed as mean \pm S.E. ($n = 3$). ** $p < 0.01$ vs control evaluated by Bonferroni/Dunn's multiple t -test.



生薬Fメタノールエキス分画物 (33 $\mu\text{g}/\text{mL}$)

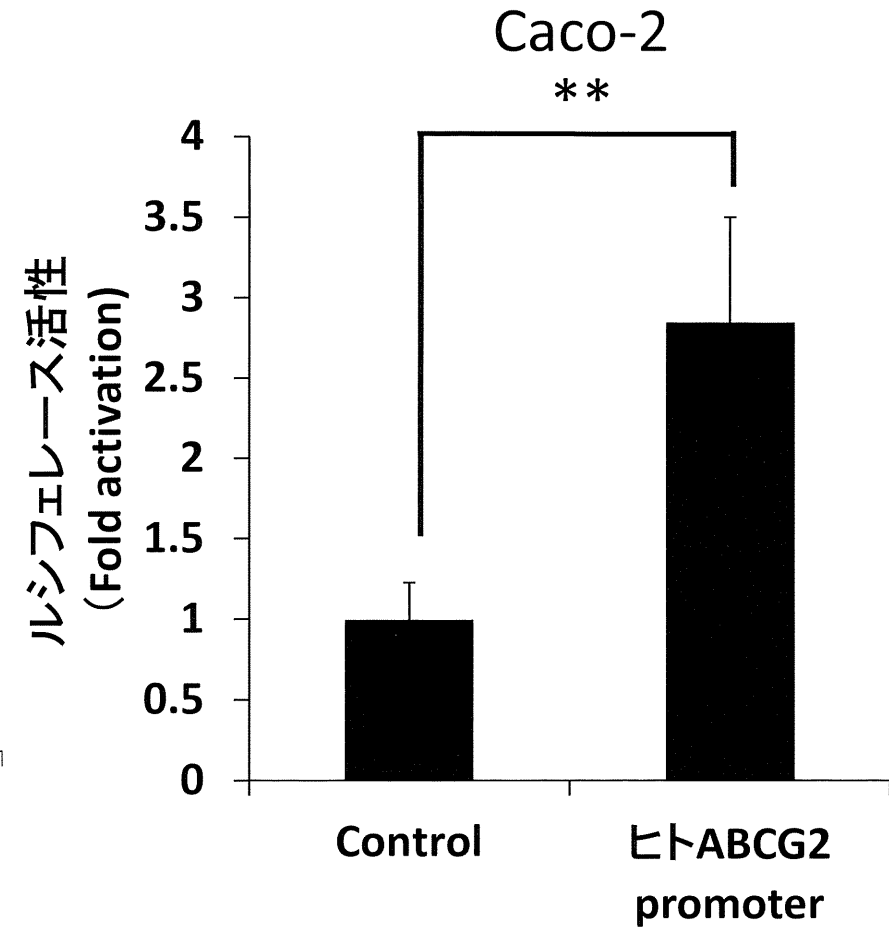
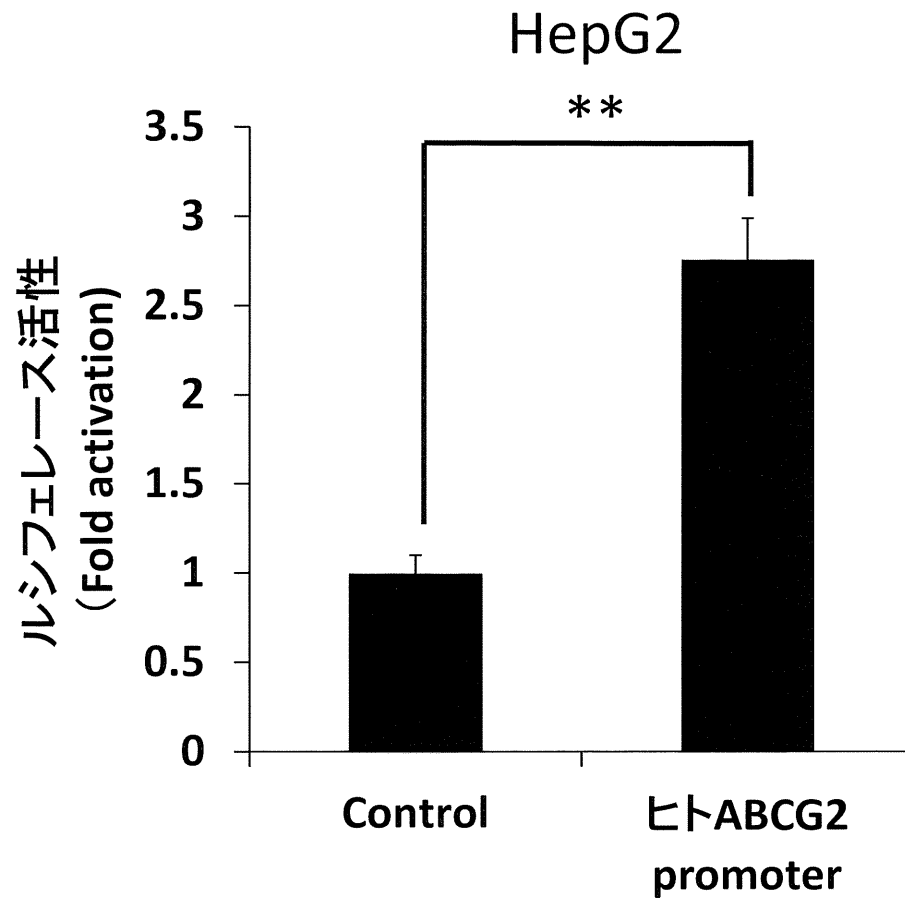
生薬F MeOHエキス分画物のURAT1阻害活性

Data was expressed as mean \pm S.E. ($n = 3$).



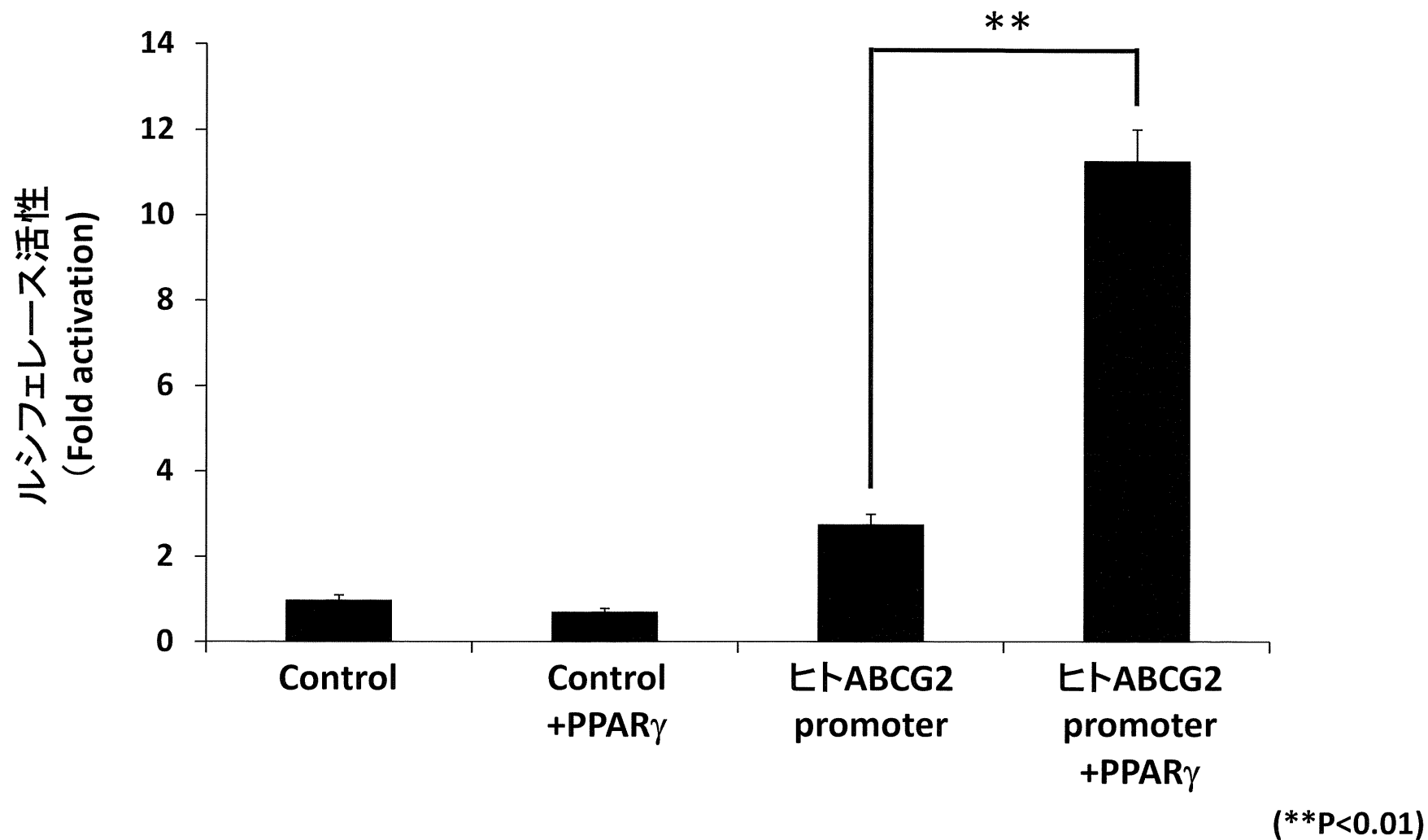
生薬Fから単離された化合物SのURAT1阻害活性

Data was expressed as mean \pm S.E. ($n = 3$). ** $p < 0.01$ vs control evaluated by Bonferroni/Dunn's multiple t -test.

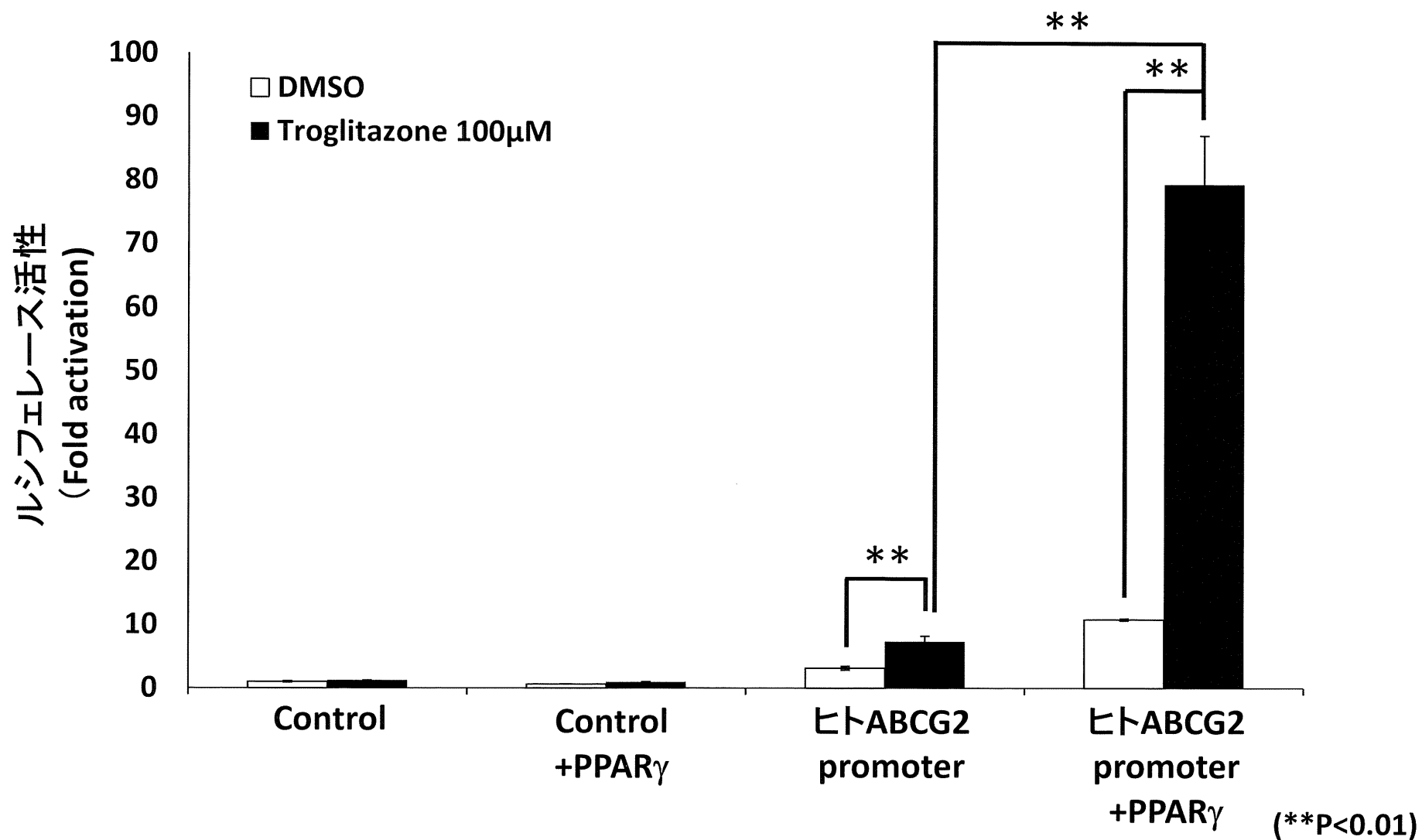


(**P<0.01)

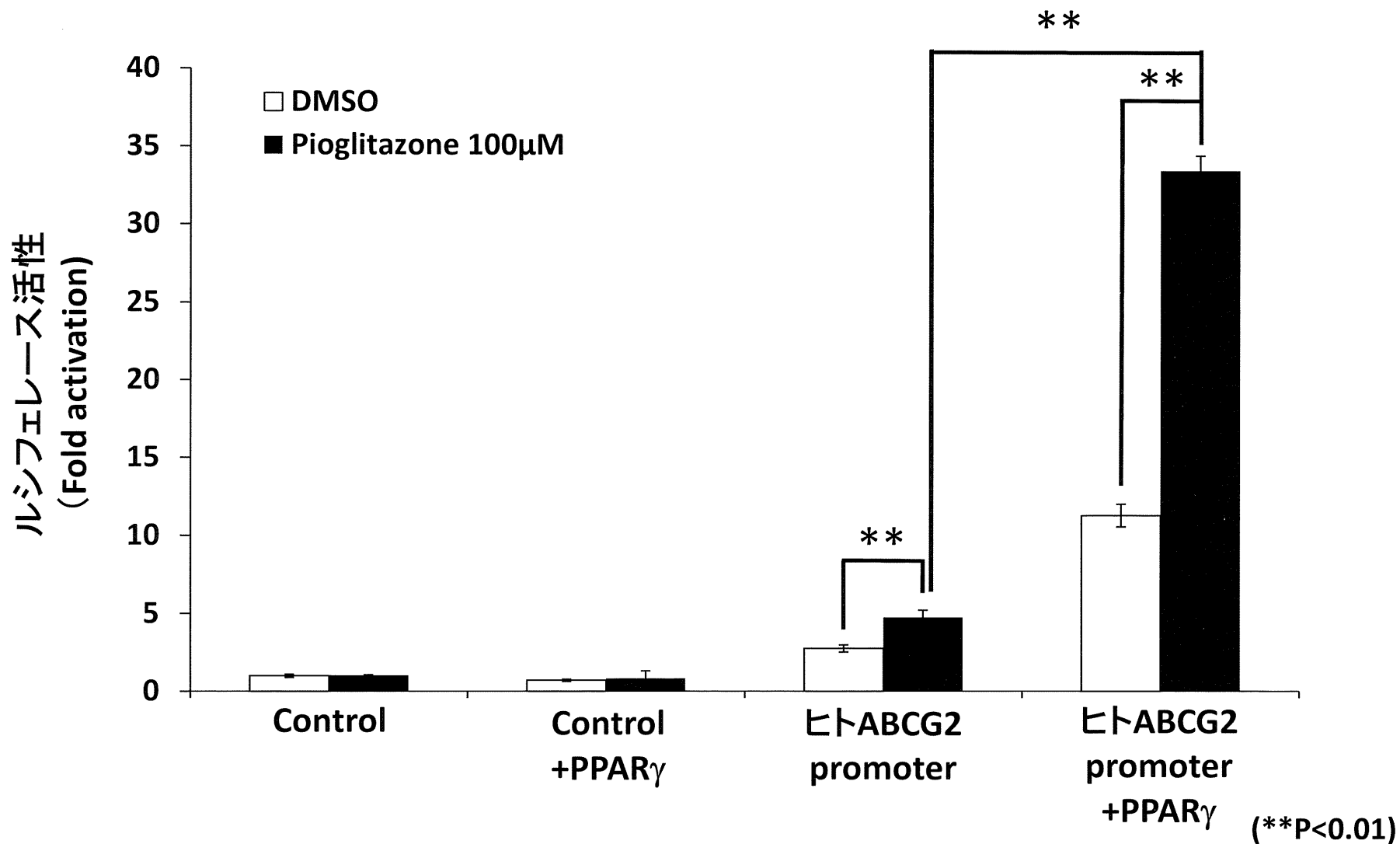
ヒトABCG2プロモーターの転写活性



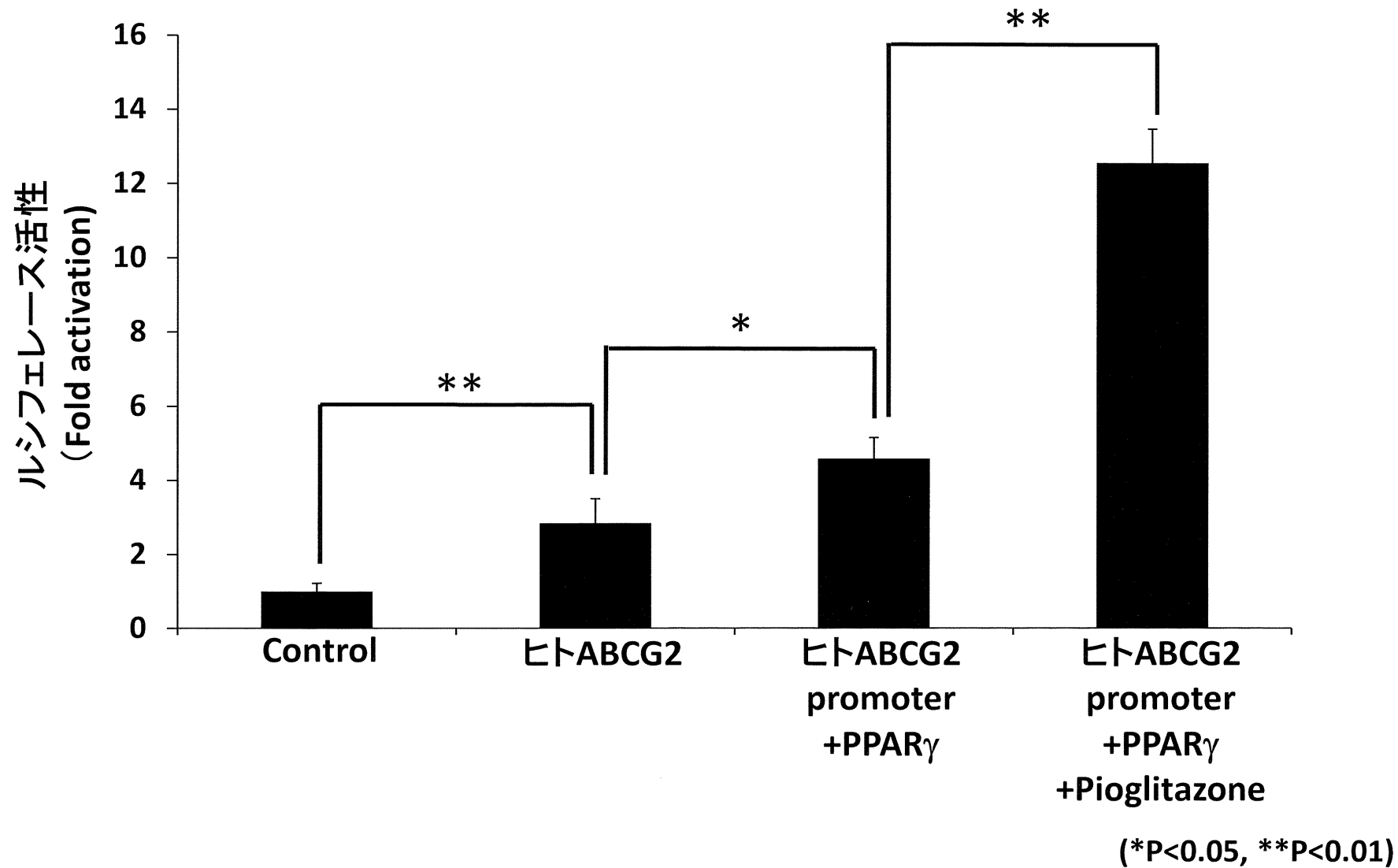
PPAR γ によるABCG2の転写活性促進



TroglitazoneによるABCG2の転写活性亢進 (HepG2細胞)



PioglitazoneによるABCG2の転写活性亢進 (HepG2細胞)

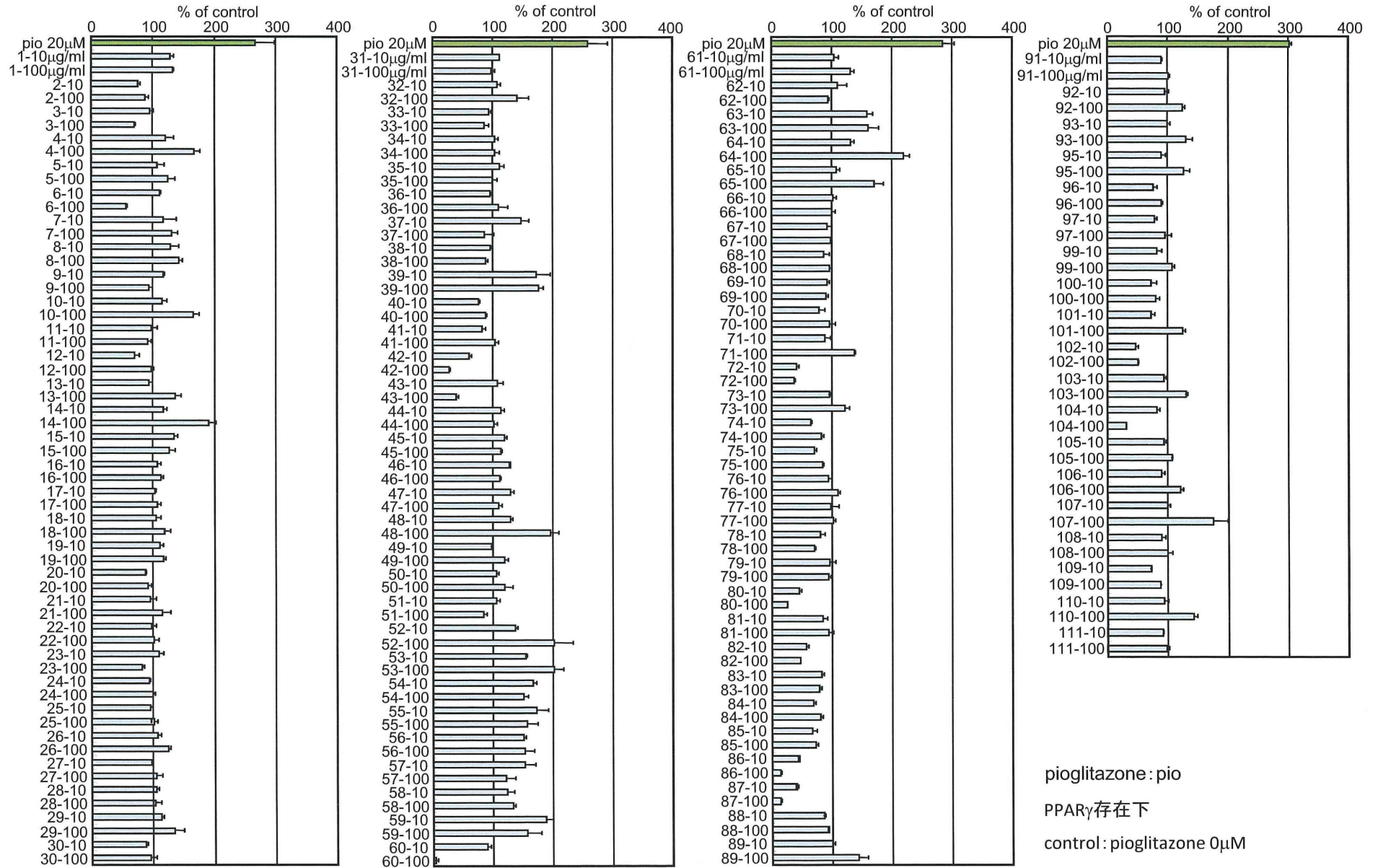


PioglitazoneによるABCG2の転写活性促進 (Caco-2細胞)

生薬エキスによるABCG2転写活性化作用(HepG2細胞)

添付資料 4-6

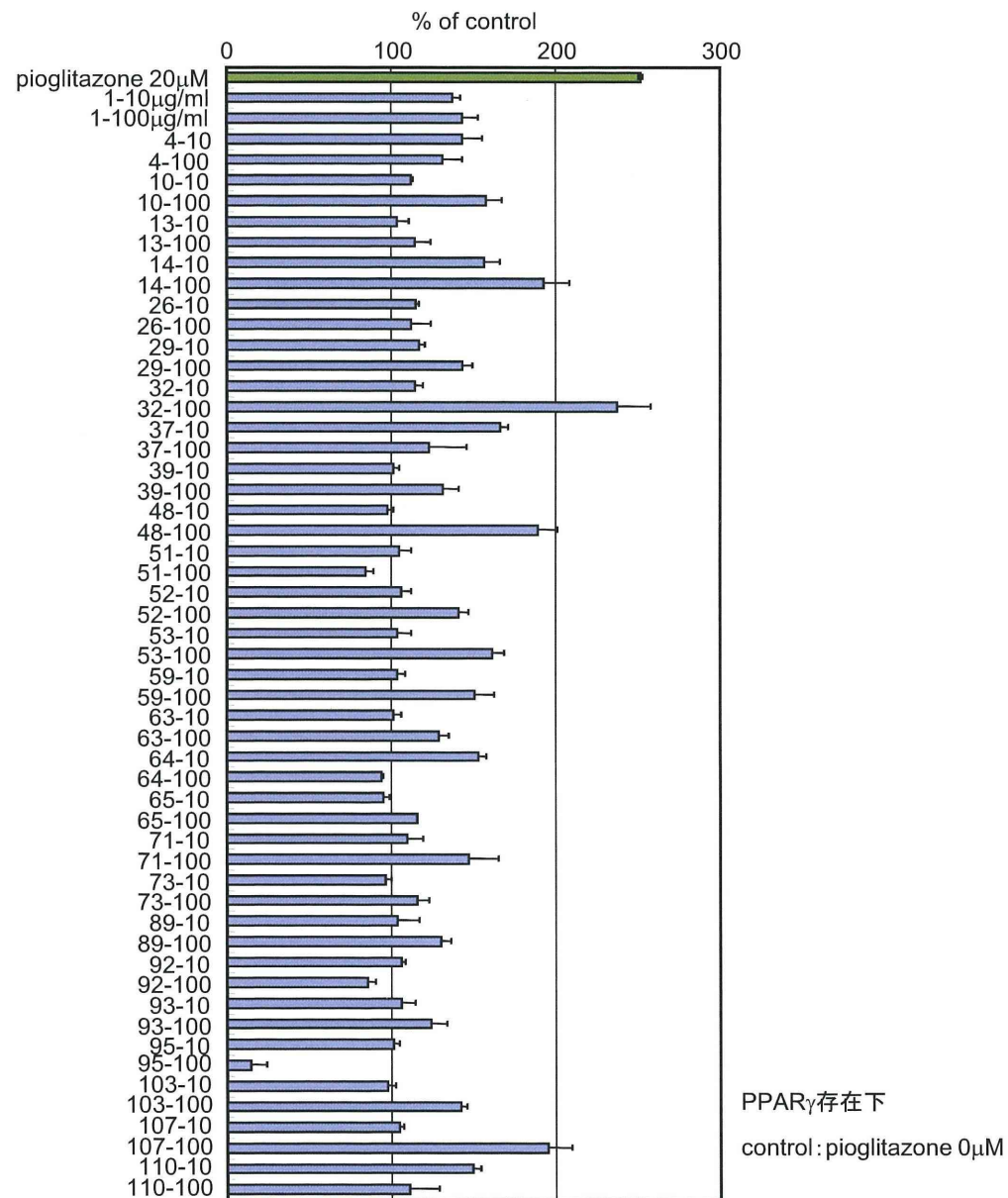
1st screening



生薬エキスによるABCG2転写活性化作用(HepG2細胞)

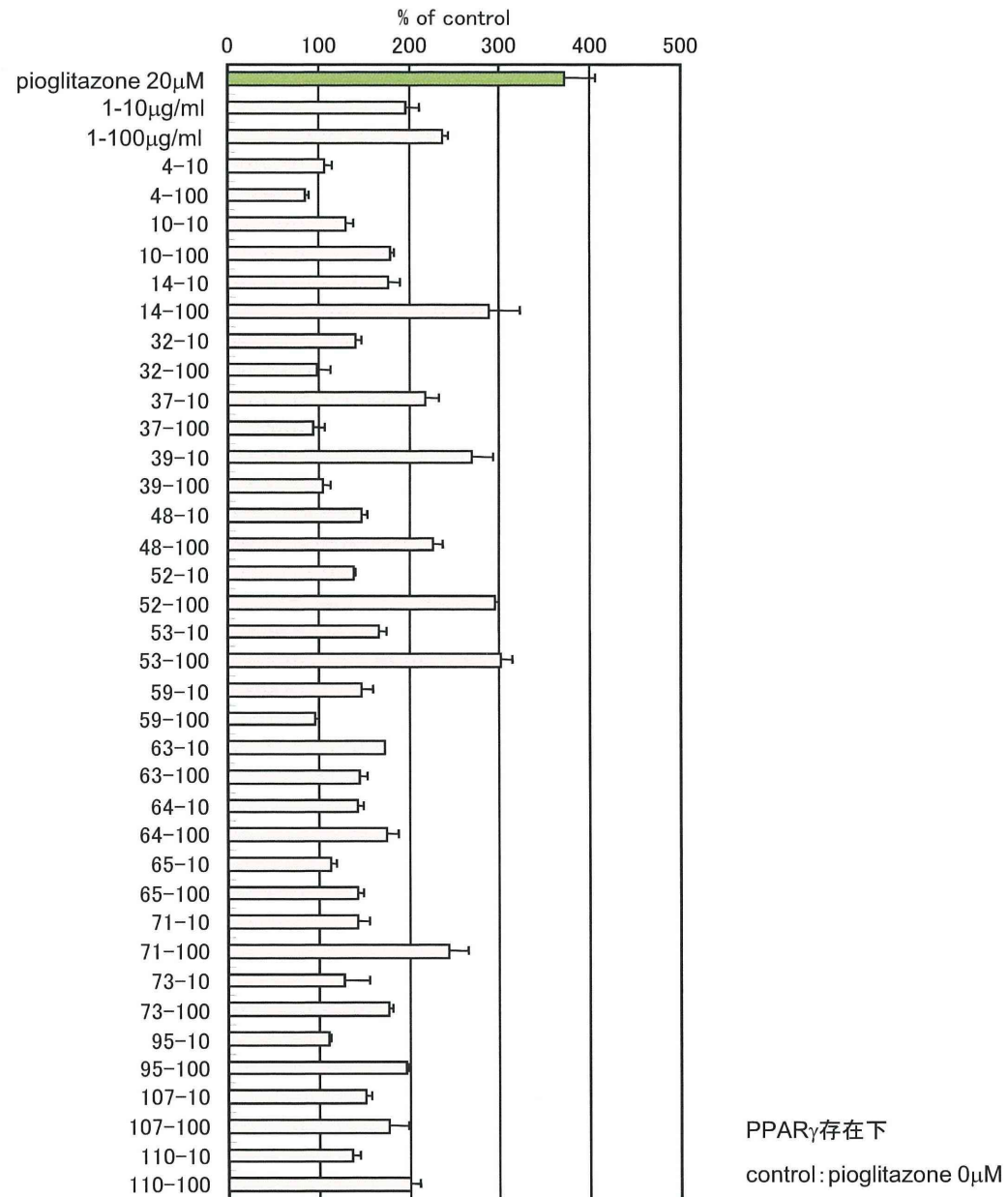
添付資料 4-7

2nd screening



生薬エキスによるABCG2転写活性化作用(Caco-2細胞)

添付資料 4-8



生薬エキスによるABCG2転写活性化作用(Caco-2細胞)

添付資料 4-9

